



200.- Borde norte del stock granítico en contacto con el Precámbrico (PC_2).



201.- Aspecto general de los afloramientos graníticos.



202.- Vista de conjunto desde Los Estrechos. A la --
derecha cuarcitas skidawienses (O_{12}) de Dragao
y hacia la izquierda, serie detrítica superior
(PC_{S2}) del Precámbrico.



203.- Presa de Peña del Aguila. En primer término cuar
citas skidawienses (O_{12}) y al fondo filitas devó
nicas (D_{13-2}).



204.- Aspecto del Skidawiense (O_{12}) junto al río Zapatón.



205.- Pliegues de la serie precámbrica (PC_2) en el río Zapatón. Se observa la esquistosidad de plano axial N-120°E/subvertical (S_1).



206.- Resalta de las cuarcitas skidawienses (O_{12}) parcialmente recubiertas de derrubios (Q_2L) en el pico Dragao.



207.- Aspecto de la fácies conglomerática (PC_{cg2}) precámbrica.

208.- Detalle de la foto anterior.





209.- Cerros devónicos (D_{12-13}) en el flanco sur - del sinclinal del Puerto. En la zona baja re salte del skidawiense (O_{12}), ambos separados por derrubios ($Q_2 L$).



210.- Las crestas corresponden a cuarcitas devónicas (D_{12-13}). A media ladera resalte skidawiense -- (O_{12}) y hacia la derecha Precámbrico (PC_{S2}) con un pequeño afloramiento conglomerático (PC_{cg2}).



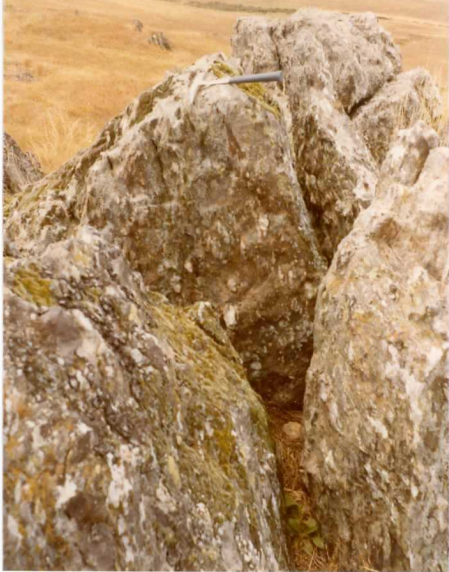
211.- Resalte de cuarcitas precámblicas (PC_q2) en la
ladera E de Los Molineros.



212.- Zona de trituración en el Pº de Los Conejeros.



213.- Conglomerado Precámbrico (PC_{cg}^2) en Los Chozos.



214.- Conglomerado intraprecámbrico ($PC_{cg}2$) en Los Chozos. Se observan cantos de cuarzo y cuarcita deformados y alineados según la esquistosidad principal (S_1). Aparece subvertical buzando ligeramente al NO.



215.- Sierra cuarcítica del skidawiense (O_{12}) al NE del Cº de San Juan.



216.- Pequeño afloramiento de calizas precámbryicas (PC_{C2}) junto al cº de San Juan.



217.- Aspecto de la serie detrítica superior (PC_{S2}) precámbrica al sur de Dos Hermanas. Aparecen desarrollados "Kink-bands".



218.- Resalte del conglomerado intraprecámbrico (PC_{Cg}^2) al N del Cortijo Llerena.



219.- Rama norte del skidawiense (O_{12}) en la estructura de los Riscos de la Higuera.



220.- Arcosas ($\text{Ca}_{\text{S}1}$) de la base del Cámbrico con un nivel de cantos. Tomada junto al Aº de Valdeborracho.



221.- Dolomias cámbricas ($\text{Ca}_{\text{d}1}$) junto a las Casas de la Cierva.



222.- Skidawiense (O_{12}) de la zona E de La Alcornocosa



224.- Aspecto de la serie detrítica superior (PC_{S2}) precámbrica, cabalgando a las cuarcitas skidawienses (O_{12}) junto a la C^a a la frontera.



223.- Skidawiense (O_{12}) al O del cerro El Lobo.
En primer término aflora la serie detríti-
ca superior (PC_{S2}) precámbrica que se apo-
ya sobre el skidawiense.



225.- Arcosas precámblicas (PC_{S2}) junto a la depuradora.



226.- Cuarcitas y filitas devónicas (D_{12-13}) al o. de La Herradura.



227.- Aluviones en el río Gévora.



228.- Escarpe de terraza ($Q_1 T_2$) en el cruce Gévora-Zapatón.



229.- Aspecto de la superficie de aterrazamiento ($Q_1 T_2$) labrada.



230.- Arenas y aluviones ($Q_2 AL$) en el río Zapatón.



231.- Escarpe entre terrazas ($Q_1 T_1 - Q_1 T_2$) próximo a la hermita de Bótoa.



232.- Aspecto de la terraza ($Q_1 T_1$) en corte.



233.- Arenas arcillosas (T_{S}^B) en contacto con las arcillas pardas (T_{ac}^B) junto al Aº del Fresno



234.- Raña (T_2^B -Q₁₁) al sur del Cº de Guadalta



235. - Aspecto del tramo superior de la Raña (T_2^B - Q_{11}). Tomada donde la foto anterior.



236.- Tramo inferior de la Raña (T_2^B -Q₁₁)



237.- Escarpe de terraza ($Q_1 T_1$) en la margen derecha del río Zapatón.



238.- Aspecto de las arenas terciarias compactadas (T_{Sc1}^B) junto a la C^a a la frontera.



239.- Dique de rocas básicas (E) junto al Pº
de Los Conejeros



240.- Afloramiento de calizas devónicas (D_{13-21}) intercalado en las filitas terminales (D_{13-2})



241.- Afloramiento de filitas devónicas (D_{13-2})



242.- Aspecto del nivel arcillo-margoso (T_{mc1}^B) con cantos sueltos de caliza.



243.- Areniscas y cuarcitas con filitas intercaladas del Silúrico-Devónico (S^B - D_{11}) en El Estrecho.



244.- "Kink-bands" centimétricos de la tercera fase (F_3) en el Silúrico-Devónico (S^B-D_{11}) de El Estrecho.



245.- Aspecto de conjunto de las arenas arcillosas terciarias (T_{Sc1}^B)